

## تغییرپذیری پهنه‌ای کمربند گرمسیری نیمکره شمالی در عرض‌های میانه

مسعود جلالی<sup>۱</sup>، استادیار آب و هواشناسی، گروه جغرافیا، دانشگاه زنجان، زنجان، ایران.

حسین عساکری، استاد آب و هواشناسی، گروه جغرافیا، دانشگاه زنجان، زنجان، ایران.

سید محمود حسینی صدیق، دانشجوی دکتری آب و هواشناسی، گروه جغرافیا، دانشگاه زنجان، زنجان، ایران.

دریافت مقاله: ۱۴۰۱/۰۸/۰۶ پذیرش نهایی: ۱۴۰۰/۱۱/۰۳

### چکیده

گسترش قطب سوی کمربند گرمسیری را در اثر تغییرات آب و هوایی ناشی از فعالیت‌های انسانی، به ویژه افزایش گازهای گلخانه‌ای و تغییر کاربری اراضی زمین می‌دانند. تغییرپذیری پهنه‌ای کمربند گرمسیری به عرض‌های جغرافیایی بالاتر حاکی از گسترش منطقه خشک نیمه گرمسیری است که این امر حاکی از افزایش فراوانی خشکسالی در هر نیمکره است. به منظور تغییرپذیری پهنه‌ای کمربند گرمسیری نیمکره شمالی در عرض‌های میانه از شاخص‌های کسر بارش از تبخیر، مؤلفه مداری بردار باد، تابع جریان نصف‌النهاری، دمای سطح وردایست، تابش موج بلند خروجی زمین و فشار سطح زمین استفاده شده است. یافته‌های پژوهش نشان داد، گسترش عرض جغرافیایی کمربند گرمسیری با تابع جریان نصف‌النهاری به سمت عرض‌های جغرافیایی بالاتر با ۱ تا ۳ درجه عرض جغرافیایی و تأثیر فرونژینی گردش هدلی افزایش دامنه تبخیر از بارش را نشان داده است که کسر بارش از تبخیر ۱ تا ۳ درجه عرض جغرافیایی افزایش داشته است. جت جنب حاره در حرکت شاخه‌های فوقانی وردسپهر از گردش هدلی با ۲ تا ۴ درجه عرض جغرافیایی افزایش داشته است که می‌تواند بر سامانه‌های رطوبت‌زای گذری و همچنین بر میزان بارشها اثر منفی داشته باشد. گسترش قطب سوی کمربند گرمسیری که پیامدی از دگرگونی و مخاطرات آب و هوایی به شمار می‌رود، جا به جایی مکانی قطب سوی رودبار جنب حاره‌ای را در پی خواهد داشت و در نتیجه کمربندهای خشک جنب حاره‌ای به سمت قطب را ارائه می‌کنند؛ و همچنین تابش موج بلند خروجی زمین ۱ تا ۲ درجه عرض جغرافیایی افزایش یافته و دلیلی بر افزایش گرما در وردسپهر فوقانی گردیده است و این باعث افزایش خشکی و کاهش خفیف ابر در وردسپهر فوقانی شده است و همچنین باعث گسترش کمربند گرمسیری به سمت عرض‌های جغرافیایی بالاتر شده است. به طور کلی، یافته‌های پژوهش نشان داد که اکثر شاخص‌های کمربند گرمسیری از سال ۱۹۷۹ روند افزایشی داشته است.

واژه‌های کلیدی: گسترش، کمربند گرمسیری، تغییر اقلیم، خشکی، نیمکره شمالی.

## مقدمه

از اثرات مهم دگرگونی و مخاطرات آب و هوایی مشاهده و شبیه سازی شده، گسترش کمربند گرم‌سیری به عرض های جغرافیایی بالاتر است (Seidel et al., ۲۰۰۷; Lu et al., ۲۰۰۸). این گسترش اثرات نامطلوب اجتماعی، اقتصادی و سیاسی ناشی از تغییرات بارندگی و خشکسالی‌ها را پی داشته باشد (Seidel et al., ۲۰۰۸). همبستگی تغییرات سلول‌های هدلی با جت‌های نیمه‌گرم‌سیری، به گسترش کمربند گرم‌سیری مرتبط است. هرگونه چنین تغییرپذیری در عرض جغرافیایی مناطق گرم‌سیری با گردش هدلی، پتانسیل اعمال تأثیرات بی‌شماری را در خشکی‌ها، دریا و اقیانوس‌ها دارد. افزایش پهنهای مناطق گرم‌سیری در خشکی این پتانسیل را دارد که مسیرهای بارانزا و رطوبت‌زایی را جابجا کند (Si et al., ۲۰۱۵; Bronnimann et al., ۲۰۰۹); و همچنین بیابان‌زایی مناطق نیمه‌گرم‌سیری را گسترش دهد و خشکسالی‌ها و آتش سوزی‌های جنگلی را تشدید کند (Post et al., ۲۰۱۴; Feng et al., ۲۰۱۳). در اقیانوس‌ها و دریاها، خط‌الراس نیمه‌گرم‌سیری با کمربندهایی با شوری بالا و بهره‌وری زیستی کم دریایی منطبق است، و افزایش عرض جغرافیایی کمربند‌گرم‌سیری ممکن است به معنای گسترش این کمربندها باشد (Moore et al., ۲۰۰۸; Polovina et al., ۲۰۰۸). علاوه بر این، هرگونه تغییر در الگوهای دمای هوای بارش و باد ممکن است مسیرهای طوفان گرم‌سیری را تغییر دهد. به دلیل شیب گرادیادن قوی نصف‌النهاری دما و بارش در کمربند‌گرم‌سیری، هرگونه تغییر در آن مناطق می‌تواند اثرات جبران ناپذیر زیست محیطی ایجاد کند (Birner, ۲۰۱۴). با توجه به اینکه حدود نیمی از جمعیت جهان در مناطق آب و هوایی نیمه‌گرم‌سیری زندگی می‌کنند، پیامدهای گسترش مناطق گرم‌سیری به‌طور بالقوه قابل توجه است. بنابراین تغییرپذیری پهنهای کمربند‌گرم‌سیری نیمکره شمالی همچنان یک منطقه فعال تحقیقاتی است. برآوردهای مشاهدهای از عرض کمربند‌گرم‌سیری مبتنی بر داده‌های دینامیکی، مانند فشار سطح دریا و تابش موج بلند خروجی زمین، نشان دهنده گسترش کمربند‌گرم‌سیری است، سایر معیارهای تشخیص عرض جغرافیایی کمربند‌گرم‌سیری، مانند عرض چغرافیایی جت جنب حراره (Davis, ۲۰۱۷; Fu, ۲۰۱۱) و عرض جغرافیایی دمای سطح وردایست نشان دهنده گسترش مناطق گرم‌سیری و خشک‌تر شدن مناطق نیمه‌گرم‌سیری است (Lucas, ۲۰۱۲; Davis, ۲۰۱۳; Davis, ۲۰۱۷). به طور کلی، یکی از رایج‌ترین معیارهای تشخیص گسترش عرض جغرافیایی کمربند‌گرم‌سیری، مرز بین سلول‌های هدلی و سلول فرل در عرض‌های میانه است. این به دلیل تسلط فرونژینی گردش هدلی در عرض‌های میانه است. مکان این هوای فرونژینی به‌دلیل چرخه‌های تابش خورشید و تغییرپذیری طبیعی وردسپهر، به طور فصلی و بین سالانه دائمًا متغیر است (Hartman, ۱۹۹۴). گردش هدلی یک عنصر اساسی در سامانه آب و هوایی است که انرژی حرارتی و رطوبت را از منطقه کمربند‌گرم‌سیری به مناطق عرض‌های میانه انتقال می‌دهد (Trenberth et al., ۲۰۰۳); و معمولاً به عنوان میانگین منطقه‌ای گردش نصف‌النهاری (ZAHC<sup>۱</sup>) در منطقه گرم‌سیری تعریف می‌شود (Hartmann, ۲۰۱۶); از آنجا که خشکی، اقیانوس و توپوگرافی به طور مساوی توزیع نشده‌اند، میانگین منطقه‌ای نصف‌النهاری ممکن است تنوع منطقه‌ای را به خوبی در نیمکره شمالی نشان ندهد (Ruping et al., ۲۰۱۸). در بررسی تغییرات منطقه‌ای میانگین گردش سالانه سلول هدلی در دهه‌های اخیر هفت ناحیه را انتخاب و مشخص کرده‌اند، میانگین منطقه‌ای سلول هدلی به صورت دو سلول ظاهر می‌شود که اولی با حرکت صعودی در مناطق حاره عمده‌تا بین خط استوا و ۱۰ درجه شمالی است که شاخه صعودی آن منطقه همگرایی بین حاره‌ای (ITCZ) را تشکیل می‌دهد و با رعد و برق‌های شدید در مناطق گرم‌سیری همراه است،

۱ - Zonally Averaged Hadley Cell

و شاخه نزولی آن در مناطق نیمه‌گرمسیری در حدود  $30^{\circ}$  تا  $40^{\circ}$  درجه شمالی و جنوبی واقع شده است؛ و دومی گردش سلول فرل در هر دو نیمکره است (Xian et al, ۲۰۲۱). مناطق سلول‌های هدلی عبارتند از: آفریقا ( $E-40^{\circ}$ ); آقیانوس هند ( $E-100^{\circ}$ – $E-100^{\circ}$ ); غرب آقیانوس آرام ( $E-160^{\circ}$ – $E-110^{\circ}$ ); شرق آقیانوس آرام ( $W-150^{\circ}$ – $W-110^{\circ}$ ); آمریکای جنوبی ( $W-80^{\circ}$ – $W-45^{\circ}$ ) و آقیانوس اطلس ( $W-40^{\circ}$ – $W-10^{\circ}$ ). در مناطق گرمسیری این هفت منطقه، حرکت رو به بالا و بارش زیاد و در مناطق نیمه‌گرمسیری آن حرکات فرونشینی و کمبود بارش و افزایش تبخیر اتفاق می‌افتد. این بدان معناست که فعال‌ترین سلول‌های هدلی منطقه‌ای در سراسر جهان در این مناطق واقع شده است. همچنین این هفت منطقه نشان دهنده سامانه‌های مختلف آب و هوایی است. الگوهای سلول هدلی آفریقا، آقیانوس هند و غرب آقیانوس آرام مشابه سلول هدلی میانگین منطقه‌ای است (Zhang et al, ۲۰۰۸; Trenberth et al, ۲۰۰۰). البته، شاخه فرونشینی سلول هدلی آفریقا قویتر و شدیدتر از سلول هدلی آقیانوس هند و غرب آقیانوس آرام است. حرکت فرونشینی قوی بر روی شاخه قطبی سلول هدلی آفریقا در مقایسه با سایر مناطق سلول هدلی متاثر از مقادیر بیشینه تابش موج بلند خروجی زمین در صحرای آفریقا و سطح خشکی‌های خاورمیانه است (Zhang et al, ۲۰۰۴). سلول هدلی منطقه‌ای شرق آقیانوس آرام در نیمکره جنوبی نسبت به سایر مناطق سلول‌های هدلی بسیار ضعیفتر است. سلول هدلی منطقه‌ای آمریکای جنوبی بسیار باریکتر از سلول هدلی منطقه‌ای است و یک گردش سلول فرل در نیمکره شمالی دارد. سلول هدلی منطقه‌ای در آقیانوس اطلس در نیمکره جنوبی و جنوبی باریکتر از سلول هدلی منطقه‌ای است و یک گردش سلول فرل در نیمکره جنوبی دارد (Nolan et al, ۲۰۰۷). ژانگ و همکاران (Zhang et al, ۲۰۱۱) گزارش داده‌اند که تغییرات سلول هدلی در غرب آقیانوس آرام ( $E-160^{\circ}$ – $E-110^{\circ}$ ) و شرق آقیانوس آرام ( $W-180^{\circ}$ – $W-120^{\circ}$ ) با تغییرپذیری مانسون زمستانی آسیای شرقی (EAWM) ارتباط تنگاتنگی دارد. وانگ (Wang, ۲۰۰۵) دریافت که سلول هدلی غرب آقیانوس آرام ( $E-170^{\circ}$ – $E-120^{\circ}$ ) تمایل به روند ضعیفتر شدن دارد و سلول هدلی شرقی آقیانوس آرام ( $W-150^{\circ}$ – $W-100^{\circ}$ ) در سال‌های ال‌نینو قوی‌تر است. تغییرات و گسترش گردش هدلی را به تقویت منطقه همگرایی بین حاره‌ای، جت‌های جنوب حاره (Keyser et al, ۱۹۸۹) و تابش موج بلند خروجی زمین (Quan, ۲۰۱۶) که در حاشیه گردش هدلی هستند، مربوط دانسته‌اند. بدیهی است که گردش هدلی در سال‌های رخداد ال‌نینو (EL Nino) قوی‌تر و باریک‌تر، ولی در زمان رخداد سال‌های لانینا (La Nina) ضعیفتر و گستردگه‌تر است؛ همچنین در حال حاضر هیچ اثری در رابطه بین عرض جغرافیایی گردش سلول هدلی با گردش‌های موسمی وجود ندارد (Yongyun et al, ۲۰۱۸: ۶۴۰); اما این پژوهش در مغایرت با پژوهش‌های وانگ و همکاران (Wang et al, ۲۰۲۱؛ Wang et al, ۲۰۲۰) است که در پژوهه مقایسه مدل جفت شده (CIMP<sup>6</sup>; CIMP<sup>6</sup>; Solomon et al, ۲۰۱۶) تقویت و گسترش سلول هدلی را با افزایش بارندگی موسمی در نیمکره شمالی مرتبط دانسته‌اند؛ سولومون و همکاران (Solomon et al, ۲۰۱۶) در پژوهشی به بررسی گسترش کمربند گرمسیری با متغیرهای اتمسفری پرداختند و نتایج آنها نشان داد که تغییر عرض جغرافیایی گردش هدلی هم بستگی مثبتی را با عرض جغرافیایی جت جنوب حاره از لحاظ مقیاس‌های زمانی بین سالانه تا دهه‌ای دارد، اما با معیارهای وردسپهر فوقانی مانند، حداکثر شب ارتفاع وردایست، همبستگی ندارد. بر پایه ارزیابی هیات بین دول تغییر اقلیم (IPCC)، افزایش گازهای گلخانه ای و تغییر کاربری اراضی زمین، سبب گرمایش وردسپهر، کاهش دمای پوشن سپهر، افزایش ارتفاع لایه وردایست، کاهش فعالیت الگوهای گردش پوشن سپهر منطقه گرمسیری، جا به جایی قطب سوی اغتشاشات پوشن سپهر عرض‌های میانه، افزایش بارش‌های گرمسیری خواهد شد (Adam et al, ۲۰۲۱). تغییرپذیر و گسترش قطب سوی کمربند گرمسیری که

پیامدی از تغییرات آب و هوایی به شمار می‌رود، جا به جایی مکانی قطب سوی رودباد جنوب حاره‌ای را در پی خواهد داشت و در نتیجه کمربندهای خشک نیمه‌گرمسیری گسترش خواهد یافت (Yongyun, ۲۰۱۸). پژوهش‌ها و شبیه سازی گسترده مدل‌های عددی و منطقه‌ای آب و هوایی نشان می‌دهد که کمربند گرمسیری از سال ۱۹۷۹ تاکنون ۱ تا ۳ درجه عرض جغرافیایی در هر دو نیمکره تغییر کرده است (Davis, ۲۰۱۶; Lucas, ۲۰۱۶). دیویز (Davis et al., ۲۰۱۸) با جزئیات سوی کمربند گرمسیری را در اثر تغییرات آب و هوایی ناشی از فعالیت‌های انسانی، به ویژه تغییر گازهای گلخانه‌ای، تغییر کاربری اراضی زمین و خالی شدن لایه پوشن سپهر از ازن می‌دانند. پائول و همکاران (Paul et al., ۲۰۱۸) با بیشتر به تحلیل تغییرات گردش‌های پوشن سپهری، به منزله نمایه‌ای از تغییرات آب و هوایی پرداخت، نتایج ایشان نشان داد که گسترش مرز کمربند گرمسیری، سبب تغییر موقعیت هدلی، رودباهای مسیر طوفان‌ها و جریان‌های اقیانوسی خواهد شد و پیامد آن تغییر الگوهای دما و بارش است. وی بر این باور است مناطق جنوب گرمسیری مدیترانه، جنوب‌غرب ایالات متحده آمریکا، جنوب استرالیا و جنوب آفریقا شرایط خشکتری را تجربه خواهد کرد. گرچه میزان گسترش گرمسیری و متعاقب آن خشک شدن نیمه‌گرمسیری رو به افزایش و مشخص است، اما انتظار می‌رود که در طول قرن بیست و یکم با گرم شدن کره زمین ادامه یابد. تغییر طولانی مدت کمربند گرمسیری را به عنوان بیان تغییرات آب و هوایی در ارتباط با روند گرم شدن در میانگین دمای سطح جهانی در طول نیم قرن گذشته بررسی نموده‌اند (IPCC, ۲۰۰۰؛ ۱۹۹۶). تغییرپذیری پهنه‌ای کمربند گرمسیری به عرض‌های جغرافیایی بالاتر حاکی از گسترش منطقه خشک نیمه‌گرمسیری است که این امر حاکی از افزایش فراوانی خشکسالی در هر نیمکره است. هدف از تحقیق حاضر تغییرپذیری پهنه‌ای کمربند گرمسیری نیمکره شمالی در عرض‌های میانه است؛ با توجه به نقش و اهمیت تغییرپذیری کمربند گرمسیری در نیمکره شمالی، سؤال‌های مطرح در تحقیق حاضر عبارت‌اند از: ۱. آیا پهنه‌ای کمربند گرمسیری نیمکره شمالی در طول سری زمانی مطالعاتی تغییر کرده است؟ ۲. کمربند گرمسیری نیمکره شمالی چند درجه عرض جغرافیایی تغییر کرده است؟ در این تحقیق، برای مشخص نمودن تغییرپذیری پهنه‌ای کمربند گرمسیری نیمکره شمالی از هشت شاخص مشخص استفاده شده است.

## داده‌ها و روش کار

از نظر روش شناسی این مقاله یک مطالعه بنیادی در حوزه آب و هواشناسی دینامیک محسوب می‌گردد؛ در این تحقیق از معیارهای عینی مناسبی که جنبه‌های مختلف تغییرپذیری پهنه‌ای کمربند گرمسیری نیمکره شمالی در عرض‌های میانه را اندازه‌گیری کند استفاده می‌شود. در این مطالعه از هشت شاخص مشخص و همچنین از داده‌های باز‌تحلیل پیش‌بینی میان مدت هواسپهر اروپایی (ECMWF) نسخه (ERA<sup>۵</sup>) با تفکیک مکانی  $25^{\circ} / 25^{\circ} / 25^{\circ}$  و بازه زمانی ۴۰ ساله (۱۹۷۹-۲۰۱۸) با استفاده از برنامه نویسی در نرم افزار متلب شده است. پهنه‌ای سلول هادلی را با هشت شاخص مختلف تعیین کرده‌اند (جدول ۱)، که به صورت شماتیک در شکل (۱) نشان داده شده است. این شاخص‌ها جنبه‌های مختلف سیستم آب و هوایی از جمله عرض جغرافیایی که در آن کسر بارش از تبخیر ( $P-E=0$ ) صفر باشد را (Hu et al., ۲۰۱۳؛ Davis & Rosenlof, ۲۰۱۲؛ Allen et al., ۲۰۱۴) به عنوان عرض جغرافیایی کمربند گرمسیری در نظر گرفته‌اند.

- شاخص دوم، عرض کمربند گرمسیری را با فاصله بین عرض جغرافیایی که ارزش خطوط کنتوری تابش موج بلند خروجی زمین در منطقه انتقال نیمه گرمسیری هر نیمکره با  $Wm^{-2}$  است، مشخص می‌شود (Johanson, ۲۰۰۹).

بیشترین مقادیر ارزشی OLR در مناطق گرمسیری به دلیل عدم وجود ابرهای زیاد و خشکی عمومی در این مناطق یافت

می‌شود. کاهش سریع OLR از مناطق گرمسیری به منطقه انتقال عرض‌های میانه با مقادیر معمولی نزدیک به  $Wm^{-2}$  است (Hu & Fu, ۲۰۰۷). در تحقیق دیگری که توسط واسکوئس فریتاس و همکاران (Vasques Freitas et al, ۲۰۱۵) در آمریکای جنوبی انجام شد، مقادیر ORL را  $Wm^{-2}$  برای مشخص نمودن عرض کمربند گرمسیری منظور کرده‌اند.

- شاخص سوم عرض جغرافیایی دمای سطح وردایست، وردایست منطقه گرمسیری نسبت به منطقه نیمه‌گرمسیری به عنوان سطح حداکثر انحنای دمای هوا منطقه سردتری محسوب می‌شود. در این پژوهش، یک موضوع جدید در مورد وردایست معرفی می‌گردد که مبنی بر هدف تشخیصی برای عرض‌های جغرافیایی است که کمربند گرمسیری دارای اندازه حداکثر پایداری ایستاتیک هوای خشک گرمسیری است؛ پایداری ایستاتیک در اینجا به عنوان اختلاف در دمای پتانسیل بین وردایست و سطح تعریف شده است (Davis, ۲۰۱۳: ۷۷۷۷; Frierson, ۲۰۰۷: ۲). تعریف دقیق‌تر این که، در مناطق استوایی از یک آستانه دمایی  $0 K/kM$  استفاده شده است (WMO, ۱۹۵۷).

- شاخص چهارم، در عرض جغرافیایی که بیشینه فشار سطح دریا اتفاق افتاد به عنوان مرز کمربند گرمسیری در نظر گرفته شده است (Choi & et al, ۲۰۱۴: ۷۵۶۵; Staten et al, ۲۰۱۸: ۷۶۹; Waugh et al, ۲۰۱۸). در این تحقیق عرض جغرافیایی فصل‌های تابستان، بهار، پاییز و زمستان مورد بررسی قرار گرفته است.

- شاخص پنجم، عرض جنوبی حاره به عنوان عرض جغرافیایی بالا وردسپهر/ پایین پوشن سپهر است که میانگین حداکثر باد مداری از سطح  $400 - 1000$  هکتوپاسکال می‌باشد.

- شاخص ششم، عرض جغرافیایی پیچانه سرعت جنوبی، عرض جغرافیایی که بیشینه باد مداری در سطح  $850$  در هر دو نیمکره باشد.

- شاخص هفتم، ارزیابی و برآورد عرض جغرافیایی از میانگین باد مداری در تراز  $1000$  هکتوپاسکال به عنوان نقطه‌ای از عرض جغرافیایی تعیین می‌شود که باد مداری در بین مناطق گرمسیری و عرض‌های میانه در هر نیمکره صفر باشد. معادله (۱)

$$\frac{|u_s|}{\tau} = - \left[ \frac{\partial}{\partial y} \{ u * v * \} \right]$$

در معادله  $1$ ،  $u$  و  $v$  مولفه باد مداری و نصف‌النهاری،  $u_s$  باد مداری سطح زمین،  $\tau$  مقیاس زمانی برای کشیدن،  $*v*$  شار تکانه eddy جایی که در آن ستاره‌ها انحراف از میانگین منطقه‌ای را نشان می‌دهند.

- شاخص هشتم، میزان تابع جریان نصف‌النهاری در  $500$  هکتوپاسکال تعریف شده است (Feng & et al, ۲۰۱۶; Johanson, ۲۰۰۹; Lou & et al, ۲۰۰۷; Hu & Fu, ۲۰۰۷; Nguyen & et al, ۲۰۱۷) ناحیه متوسط تابع جریان نصف-النهاری<sup>۱</sup> از داده‌های میانگین ماهانه محاسبه می‌شود. سلول هادلی برای تقارن محوری (متوسط منطقه‌ای) جریان دو بعدی تعریف شده است. در این مورد، بقای جرم در مختصات کروی (Cook, ۲۰۰۴) عبارت است از:

$$\frac{\partial[\rho v \cos y]}{\partial y} + \frac{\partial[\rho \omega]}{\partial p} = n0. \quad \text{معادله (۲)}$$

<sup>۱</sup> - zonal-mean meridional stream function

که در آن (v) سرعت باد نصف‌النهاری<sup>۱</sup> ، ( $\omega$ ) سرعت باد عمودی<sup>۲</sup> ، (y) عرض جغرافیایی<sup>۳</sup> و (p) فشار به هکتوپاسکال<sup>۴</sup> است که اجازه می‌دهد تا برای  $\Psi$  تابع عملکرد جریان<sup>۵</sup> تعریف شود:

$$[v] = \frac{1}{a \cos y} + \frac{\partial \Psi}{\partial p} \quad \text{and} \quad [\omega] = \frac{1}{a \cos y} \frac{\partial [\Psi \cos y]}{\partial y} = 0 \quad \text{معادله (۳)}$$

عملکرد جریان  $\Psi$  به شرح زیر است:

$$\Psi[p, y] = \frac{\pi a \cos y}{g} \int_0^1 [v] dp \quad \text{معادله (۴)}$$

در اینجا (v) میانگین باد نصف‌النهاری منطقه‌ای، (a) شعاع زمین، (y) عرض جغرافیایی و (g) جاذبه زمین است. بدین ترتیب کل پهنهای سلول هادلی با فاصله بین عرض‌های جغرافیایی در هر نیمکره، جائی که  $kg s^{-1}$  است، مشخص می‌شود.

جدول ۱: فهرست محاسبات شاخص‌های گسترش کمربند گرم‌سیری در نیمکره شمالی

شاخص	توضیحات
تابش موج بلند خروجی زمین (OLR)	عرض جغرافیایی که ارزش خطوط کنتوری تابش موج بلند خروجی زمین $250 \text{ Wm}^{-2}$ است.
کسر بارش از تبخیر (P-E=۰)	عرض جغرافیایی که کسر بارش از تبخیر صفر یا منفی است.
باد مداری سطح	عرض جغرافیایی که باد مداری سطح در تراز ۱۰۰۰ هکتوپاسکال صفر است.
پیچانه سرعت جت	عرض جغرافیایی بیشینه باد مداری در تراز ۸۵۰ هکتوپاسکال
jet جنب حراره	عرض جغرافیایی بیشینه میانگین باد مداری در تراز ۱۰۰-۴۰۰
فشار سطح دریا	عرض جغرافیایی بیشینه فشار سطح دریا
دمای سطح وردایست	بیشینه گرادیان حرارتی در بالای وردسپهر
تابع جریان نصف‌النهاری	عرض جغرافیایی که ارزش خطوط کنتوری در تراز ۵۰۰ هکتوپاسکال صفر است.

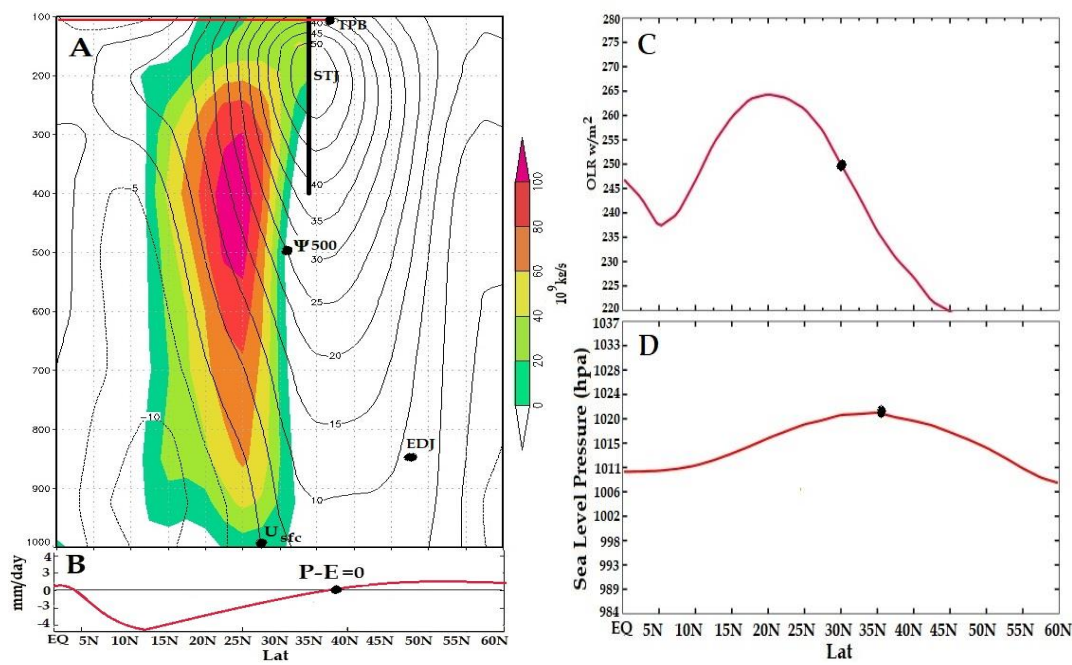
<sup>۱</sup> - meridional wind speed

<sup>۲</sup> - vertical wind speed

<sup>۳</sup> - latitude

<sup>۴</sup> - pressure in pa

<sup>۵</sup> - mass streamfunction



شکل ۱: شماتیک گردش پوشن سپهر نیمکره شمالی با موقعیت محاسبات کمربند گرمسیری (A)، (B)، (C)، (D). باد مداری سطح صفر در تراز ۱۰۰۰ هکتوپاسکال (A<sup>۱</sup>)؛ پیچانه سرعت جت در تراز ۸۵۰ هکتوپاسکال (A<sup>۲</sup>)؛ تابع جریان نصف النهاری در تراز ۵۰۰ هکتوپاسکال ( $10^9 \text{ kg/s}$ ) (A<sup>۳</sup>)؛ میانگین بیشینه جت جنوب حاره تراز ۱۰۰–۴۰۰ (خطوط پر ضخامت سایه) (A<sup>۴</sup>)؛ دمای سطح وردایست (A<sup>۵</sup>)؛ کسر بارش از تبخیر (B)؛ تابش موج بلند خروجی زمین (C)؛ بیشینه فشار سطح زمین (هکتوپاسکال) (D).

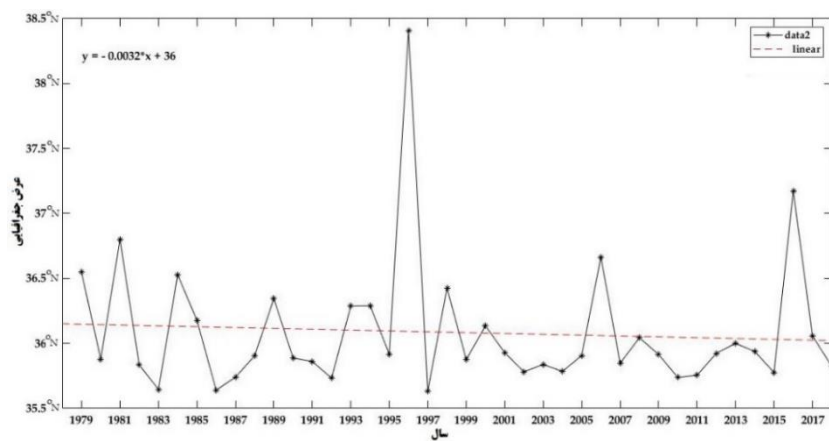
در این مطالعه به منظور تغییرپذیری پهنانی کمربند گرمسیری نیمکره شمالی در عرض های میانه از شبیه روش رگرسیون (وایازی) خطی استفاده شده است. در این رویه میزان تغییرپذیری پهنانی کمربند گرمسیری بر اساس عرض جغرافیایی در طی زمان برآورد می گردد. بررسی تغییرات بلند مدت (رونده) عناصر اقلیمی پایه اصلی در تحلیل سری های زمانی اقلیمی است. الگوهای رگرسیون از روش های پر کاربرد در تحلیل روند به شمار می آید. برآورد روند بر اساس ضرایب رگرسیون به سه روش پارامتری، ناپارامتری و بیزی امکان پذیر است. روش های پارامتری از پر کاربرد ترین روش ها در برآورد و تحلیل روند متغیرهای اقلیمی به شمار می آید. این روش ها مستلزم پیش فرض هایی نظری حاکمیت توزیع احتمال خاص (عموماً توزیع نرمال) و استقلال داده های متوالی یک سری (خودهمبستگی صفر) و ایستایی است. روش های ناپارامتری به دلیل عدم نیاز به پیش فرض های اشاره شده در روش های پارامتری، عدم حساسیت به داده های مفقوده و پرت، روش های ساده ای در تحلیل روند اقلیمی به شمار می آیند. الگوی رگرسیون خطی یک سری زمانی به صورت رابطه ۵ بیان می شود:

$$Z_t = a + bT + e_t \quad (5)$$

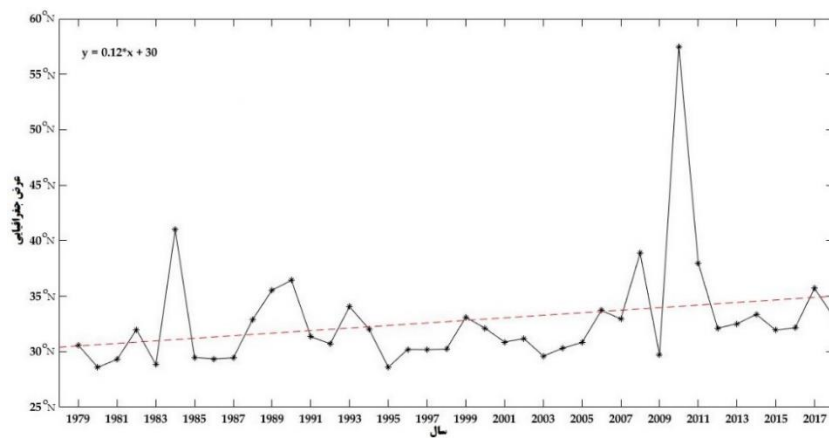
در اینجا  $Z_t$  متغیر اقلیمی یا صفت آن،  $T$  زمان ( $T=1, 2, \dots, n$ ) در اینجا شماره سال،  $a$  عرض از مبدأ،  $b$  شبیه خط (تغییر به ازای زمان) و  $e_t$  (باقیمانده یا انحراف) های برآورد خوانده می شود که یک متغیر تصادفی غیرقابل مشاهده می باشد که از توزیع نرمال با میانگین صفر و واریانس  $\sigma^2$  برخوردار است. همچنین  $a$  و  $b$  را ضرایب رگرسیون گویند.

## شرح و تفسیر نتایج

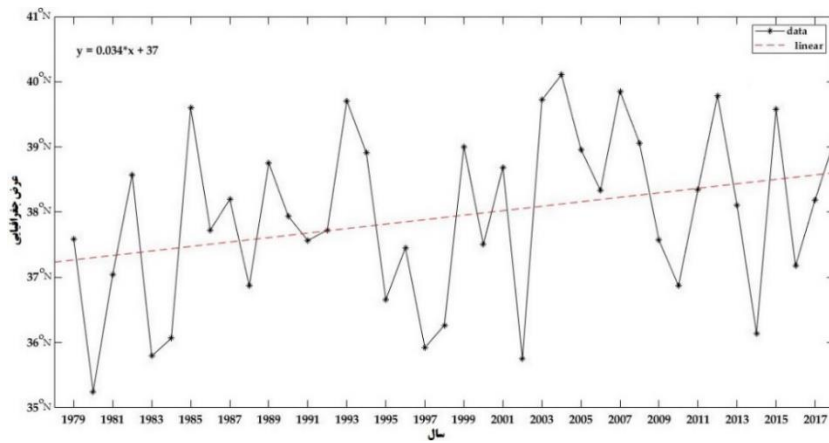
اختلاف ناهنجاری های فشار سطح دریا در نیمکره شمالی و جنوبی با تغییر سلول هادلی مربوط به تفاوت های زمین و اقیانوس ها است. عرض جغرافیایی که مانگریم فشار سطح دریا بیشتر است به عنوان لبه سلول هادلی و یا کمربند گرم‌سیری در نظر گرفته شده است (Waugh et al, ۲۰۱۸: ۷۶۹; Choi, ۲۰۱۴: ۲۵۹۲; Staten et al, ۲۰۱۸: ۷۵۶۷). بیشینه فشار در هر دو نیمکره شمالی و جنوبی در عرض ۳۵ درجه جغرافیایی قابل مشاهده است که در نیمکره شمالی با ۱۰۲۱ هکتوپاسکال و در نیمکره جنوبی با ۱۰۱۹ هکتوپاسکال اتفاق افتاده است که شرایط خشکی را فراهم می کند (حسینی صدیق، ۱۴۰۰). تغییر در گردش های جوی نیمکره شمالی، افزایش فشار تراز دریا در عرض های میانه و جنب حاره و کاهش فشار تراز دریا در عرض های بالا به ویژه در منطقه فعالیت شاخص نوسان اطلس شمالی در بی داشته است (Gillet & et al, ۲۰۰۳: ۲۹۲-۲۹۴). بر اساس نتایج وایق و همکاران (Waugh et al, ۲۰۱۸: ۷۵۷۴) روند افزایش فشار سطح دریا همراه با تغییر قطب سوی سلول هدلی بر روی اقیانوس ها بیش از سطح زمین است. این مطلب با تحقیقات اشمیت و گریس (Schmidt and Grise, ۲۰۱۷) مطابقت دارد که با تحلیل رگرسیونی و شبیه سازی مدل CMIP<sup>۵</sup> نشان دادند که گسترش قطب سوی سلول هدلی در نیمکره جنوبی با افزایش فشار سطح دریا بر روی اقیانوس ها بیش از سطح زمین توأم است، اما نیمکره شمالی با افزایش فشار سطح دریا پاسخ جزئی از طرف اقیانوس ها و پاسخ ضعیفی از جانب سطح زمین در مورد گسترش قطب سوی سلول هدلی است از خود نشان داده است. گسترش اخیر سلول هدلی را می توان به بخش زیادی از روندهای صعودی فشار سطح زمین در اقیانوس آرام جنوبی و بخش کوچکی از آن را در حوضه اقیانوس آرام شمالی دانست، اما روندهای صعودی فشار سطح زمین در حوزه آتلانتیک شمالی با گسترش سلول هدلی سازگار نیست؛ به طور کلی الگوی فضایی ناهنجاری های فشار سطح دریا در نیمکره شمالی مرتبط با گسترش سلول هدلی به نظر می رسد (Schmidt et al, ۲۰۱۷). بر اساس شکلهای ۲ تا ۵، روند فشار تراز دریا در فصل های تابستان، زمستان، پاییز و بهار را در نیمکره شمالی نشان داده شده است. معادله خط رگرسیون برآش داده شده عرض جغرافیایی فشار تراز دریا به ترتیب در فصل های تابستان و بهار با افزایش هر سال، به طور متوسط به اندازه ۰/۰۰۳۲ و ۰/۰۰۶۹ درجه جغرافیایی کاهش می یابد. اما در فصل های زمستان و پاییز فشار تراز دریا در نیمکره شمالی با افزایش هر سال، به طور متوسط به اندازه ۰/۰۱۲ و ۰/۰۳۴ درجه جغرافیایی افزایش می یابد. به طور کلی، این مطالعه نشان می دهد فشار تراز دریا در فصل های زمستان و پاییز طی بازه زمانی ۱۹۷۹-۱۹۱۸ (۲۰۱۸) ساله، ۳ تا ۵ درجه عرض جغرافیایی افزایش یافته است؛ که بیشترین افزایش شدت عرض جغرافیایی فشار تراز دریا در فصل زمستان در سالهای ۱۹۸۴ تا عرض جغرافیایی ۴۲° درجه و در سال ۲۰۱۰ تا ۵۷/۵° درجه گسترش داشته است؛ و همچنین در فصل پاییز طی سالهای ۱۹۸۲، ۱۹۸۹-۱۹۹۰ و ۲۰۱۵ تا عرض جغرافیایی ۴۷°-۴۹° درجه جغرافیایی گسترش داشته است.



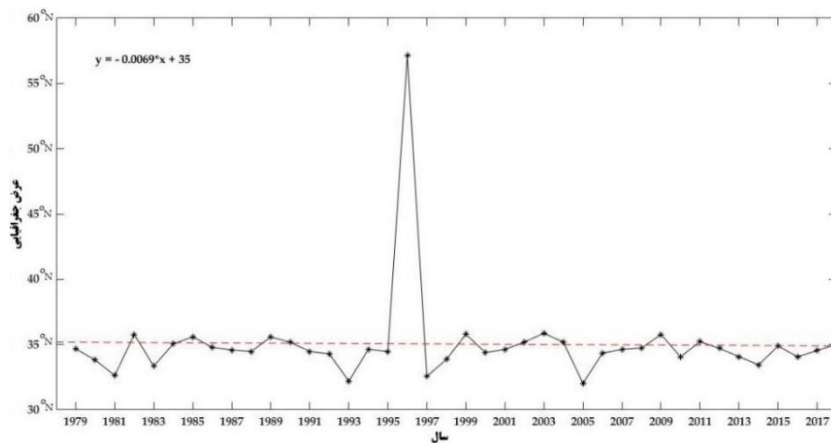
شکل ۲: سری زمانی تغییرات سالانه عرض جغرافیایی بیشینه فشار سطح زمین فصل تابستان در نیمکره شمالی



شکل ۳: سری زمانی تغییرات سالانه عرض جغرافیایی بیشینه فشار سطح زمین فصل زمستان در نیمکره شمالی

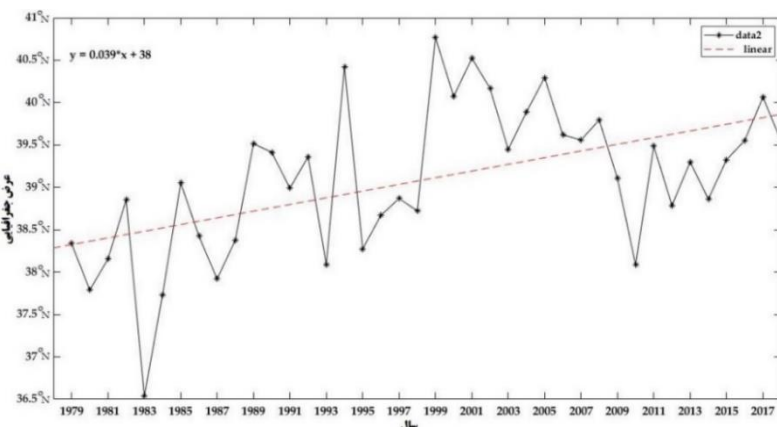


شکل ۴: سری زمانی تغییرات سالانه عرض جغرافیایی بیشینه فشار سطح زمین فصل پاییز در نیمکره شمالی



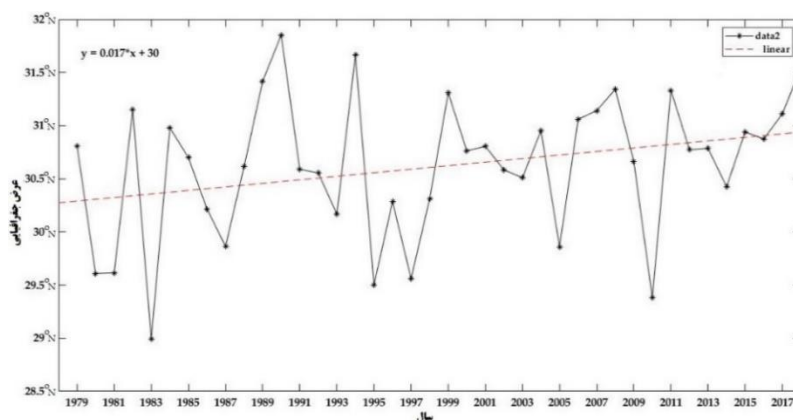
شکل ۵: سری زمانی تغییرات سالانه عرض جغرافیایی بیشینه فشار سطح زمین فصل بهار در نیمکره شمالی

گسترش مناطق گرم‌سیری با استفاده از داده‌های آب و هوایی کسر بارش از تبخیر برای درک تأثیر تغییرات در عرض جغرافیایی پهنانی مناطق گرم‌سیری استفاده می‌شود؛ منطقه‌ای که کسر بارش از تبخیر (P-E) به سوی قطب منفی و یا صفر شود به عنوان عرض جغرافیایی کمربند گرم‌سیری دانسته اند؛ منظور کسر بارش از تبخیر یعنی جریان خالص آب از سطح زمین به اتمسفر است (Zang et al, ۲۰۱۲). تغییرات کسر بارش از تبخیر را ناشی از گرمایش جهانی بر شرایط آب و هوایی و در برخی از مناطق حاکم دانستند (Wang et al, ۲۰۰۸). دمای بالا و باد شدید می‌تواند تبخیر را افزایش داده و در نتیجه منابع آب را کاهش دهد. اگر دامنه تبخیر از بارش بیشتر باشد شرایط فرون‌شینی سلول هادلی را تقویت نموده و باعث گرمایش جهانی و خشکسالی می‌شود و همچنین با وضعیت کمبود منابع آب دچار خواهد شد. در مناطق گرم‌سیری در جاییکه فرون‌شیست تسلط پیدا می‌کند، مقدار آن منفی است، ولی هر چه به سمت عرض‌های میانه پیش می‌رویم مقدار عددی آن مثبت می‌شود (Hu et al, ۲۰۱۳; Allen et al, ۲۰۱۷; Lou & et al, ۲۰۰۷; Davis and Rosenlof, ۲۰۱۲). نمودار شماره ۶ لبه عرض جغرافیایی کمربند گرم‌سیری را در جاییکه مقدار بارش از تبخیر ( $P-E=0$ ) در دو طرف به سوی قطب صفر شود را طی بازه زمانی ۳۹ ساله (۱۹۷۹-۲۰۱۸) نشان می‌دهد. معادله خط رگرسیون برازش داده شده عرض جغرافیایی کسر بارش از تبخیر به صورت  $y=0.39+0.38x$  به دست آمد، به عبارت دیگر مقدار  $a$  در معادله به ترتیب برابر  $38$  و  $0.39$  حاصل شد. با افزایش هر سال، عرض جغرافیایی کسر بارش از تبخیر به طور متوسط به اندازه  $0.39$  درجه جغرافیایی افزایش می‌یابد. به طور کلی، این مطالعه نشان می‌دهد کسر بارش از تبخیر طی بازه ۳۹ ساله، ۱ تا  $3$  درجه عرض جغرافیایی افزایش یافته است؛ که بیشترین افزایش شدت عرض جغرافیایی کسر بارش از تبخیر طی سالهای ۱۹۹۴ و ۱۹۹۹ که تا عرض جغرافیایی  $40/5^{\circ}$  درجه گسترش داشته است. گسترش پهنانی کمربند گرم‌سیری حاکی از گسترش منطقه خشک نیمه‌گرم‌سیری می‌شود که این امر حاکی از افزایش فراوانی خشکسالی در نیمکره شمالی است.



شکل ۶: سری زمانی تغییرات سالانه عرض جغرافیایی کسر بارش از تبخیر در نیمکره شمالی

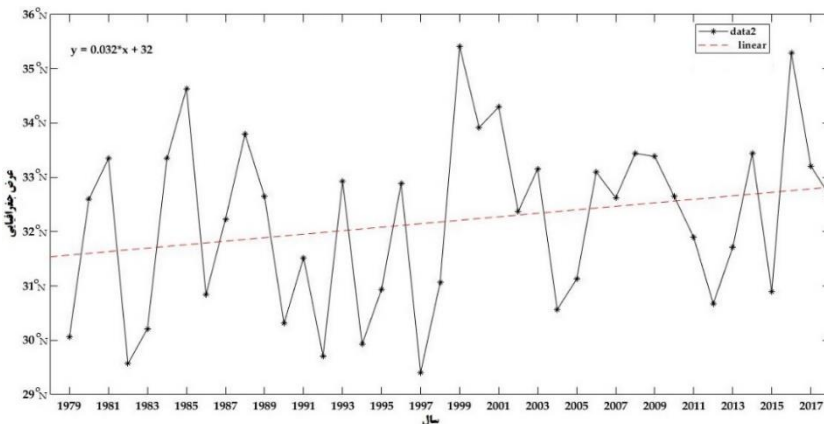
بی هنجاری باد و اگرا می‌تواند شاخه شمال سوی یاخته هدلی را تقویت و به سمت قطب سوی پیشروی نماید. هر عرض جغرافیایی با باد مداری غیر صفر در سطح یک همگرایی و یا واگرایی از حرکت عمودی توسط پیچانه‌ها مشخص می‌شود. ارزیابی و برآورد عرض جغرافیایی باد مداری سطح در تراز ۱۰۰۰ هکتوپاسکال به عنوان نقطه‌ای از عرض جغرافیایی که باد مداری در بین مناطق گرم‌سیری و عرضهای میانه در هر نیمکره صفر باشد، مشخص می‌شود. لبه عرض جغرافیایی مناطق گرم‌سیری توسط انتقال از سطح شرقی در جریان استواسو پایین وردسپهر به علت گردش هدلی به سطح غربی در عرض‌های میانه مشخص می‌شود (Davis et al., ۲۰۱۷). در حالت پایدار، ناحیه‌ای با شار واگرایی مداری با کشیدن سطح متعادل می‌شود. بنابراین، عرض جغرافیایی کمربند گرم‌سیری با باد مداری سطح تغییر علامت نشان می‌دهد (در جائیکه به صفر می‌رسد)؛ همچنین عرض جغرافیایی را نشان می‌دهد که پیچانه و شار واگرایی در سطح بالا به تعادل برسد (Held, ۲۰۰۲). باد مداری سطح صفر در نیمکره شمالی در عرض جغرافیایی ۳۰ درجه و همچنین در نیمکره جنوبی در عرض جغرافیایی ۳۲ درجه قابل مشاهده می‌باشد (حسینی صدیق و همکاران، ۱۴۰۰). بر اساس شکل ۷ نشان می‌دهد عرض جغرافیایی سطح صفر باد مداری ۱ تا ۲ درجه عرض جغرافیایی افزایش داشته است و با افزایش هر سال، عرض جغرافیایی سطح صفر باد مداری به طور متوسط به اندازه ۰/۰۱۷ درجه جغرافیایی افزایش می‌یابد. بیشترین افزایش شدت عرض جغرافیایی جت جنب حاره طی سالهای ۱۹۹۰-۱۹۸۹، ۱۹۹۴-۱۹۹۹ و ۲۰۱۸ تا عرض جغرافیایی ۳۲ درجه گسترش داشته است.



شکل ۷: سری زمانی تغییرات سالانه عرض جغرافیایی باد مداری سطح صفر تراز ۱۰۰۰ هکتوپاسکال در نیمکره شمالی

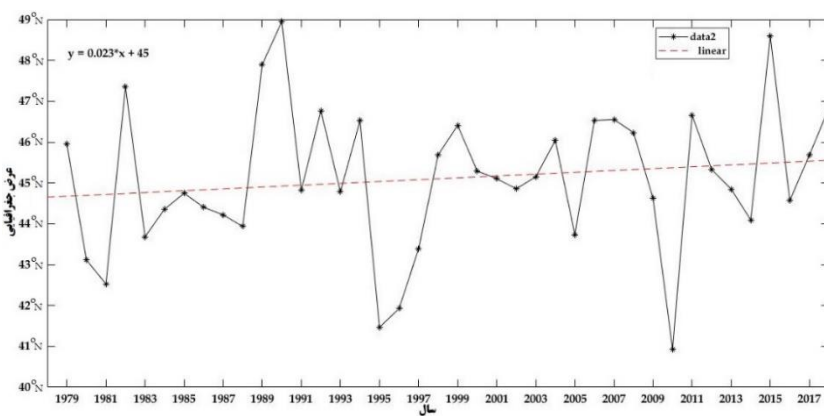
چهارمین معیار استنباط گسترش مناطق گرمسیری از مؤلفه جت جنوب حاره استفاده می‌شود. جت جنوب حاره در وردسپهر در ناحیه نیمه گرمسیری که عموماً بر فراز پروفیل جنوب حاره و در عرض‌های بین ۲۰ تا ۳۵ و بالاتر از ۱۲ تا ۱۵ کیلومتری (۶ تا ۹ مایلی) سطح زمین در داخل وردایست که در آن شیوه حرارتی و شیوه فشار و عوامل دینامیکی دیده می‌شود، واقع شده است (فلاح قاله‌ری، ۱۳۹۳؛ لشکری، ۱۳۹۴؛ ۴۴۵: ۲۴۶). عرض جت جنوب حاره به عنوان عرض جغرافیایی بالا وردسپهر/ پایین پوشن سپهر است که بیشینه باد مداری از سطح زمین بین ۱۰۰-۴۰۰ هکتوپاسکال در هر نیمکره می‌باشد، محاسبه شده است (Davis, ۲۰۱۶: ۴۵-۴۶). سرعت باد در تراز ۱۰۰۰ هکتوپاسکال کم است، به طوری که بادها در ترازهای بالاتر به سرعت جت می‌رسند (Davis et al, ۲۰۱۳: ۷۷۷۶). در تئوری ایده‌آل، جت جنوب حاره در لبه‌های قطب در حال حرکت شاخه‌های فوقانی وردسپهر از گرددش هادلی در هر نیمکره تشکیل می‌دهد (Schneider, ۲۰۰۶)؛ این امر باعث حرکت از عرض جت جنوب حاره به عنوان گسترش عرض کمربند گرمسیری می‌شود. تغییرپذیر پهنه‌ای کمربند گرمسیری که پیامدی از دگرگونی و مخاطرات آب و هوایی به شمار می‌رود، جا به جایی مکانی قطب سوی رودباد جنوب حاره ای را در بی خواهد داشت و در نتیجه کمربندهای خشک جنوب حاره‌ای به سمت قطب را ارائه می‌کنند. بارنس و همکاران (Barnes et al, ۲۰۱۳) واکنش رودبادهای عرض میانه و تغییرپذیری آنها را نسبت به افزایش گازهای گلخانه‌ای در ارتباط با گزارش پنجم CIMIP<sup>۵</sup> مورد مطالعه قرار دادند و بیان کردند که تمامی رودبادها با تغییرات آب و هوایی به طرف قطب حرکت می‌کنند به طوری که، تغییر آنها در نیمکره جنوبی به سوی قطب تا انتهای قرن بیست یکم با نگاه سناریو RCP<sup>۸,۵</sup> معادل ۲ درجه خواهد بود، در حالی که در نیمکره شمالی تنها یک درجه به سوی قطب جابه‌جا می‌شود. ایم و همکارانش (Yim et al, ۲۰۱۵) تنوع درون مدلی در تغییرات رودبادها و ارتباط آن را با آب و هوای مناطق قطبی با استفاده از مدل گرددشی CGCMs در CMIP<sup>۵</sup> را مطالعه نمودند و به طور معنی‌داری مشخص کردند که رودبادهای عرض‌های میانه همراه با گرمایش مناطق قطبی به سوی مناطق قطبی تغییر مکان می‌دهد و در حالی که با ضعیف شدن گرمایش به سوی استوار کشیده می‌شود. جلالی و همکاران (۱۴۰۰) در پژوهشی نشان داده اند لبه عرض جغرافیایی گرددش سلول هدلی در نیمکره شمالی در عرض جغرافیایی ۳۰ درجه شمالی با جت جنوب حاره همراه هستند و هسته سلول هدلی از تراز ۴۵۰ تا ۶۵۰ هکتوپاسکال با سرعت ۱۰ m/s مشاهده شده است که در واقع منابع عمدۀ انرژی جنبشی پوشن سپهر ناشی از دگرگونی‌های بزرگ مقیاس در سلول‌های هدلی می‌باشد که رودباد قوی جت جنوب حاره را در هر دو نیمکره به وجود می‌آورند و همچنین جت‌های سطح بالایی قوی در عرض‌های جغرافیایی که گرددش هدلی فرو می‌نشینند، قوی‌ترین آن در نزدیکی ۳۰° عرض جغرافیایی در نیمکره شمالی در سطح ۲۰۰ هکتوپاسکال در ارتفاع حدود ۱۰ کیلومتری و با میانگین سرعت حدود ۴۰ m/s<sup>۱</sup> قرار دارد. بر اساس شکل ۸، عرض جغرافیایی جت جنوب حاره ۲ تا ۴ درجه عرض جغرافیایی افزایش داشته است و با افزایش هر سال، عرض جغرافیایی جت جنوب حاره به طور متوسط به اندازه ۰/۰۳۲ درجه جغرافیایی افزایش می‌یابد. بیشترین افزایش شدت عرض جغرافیایی جت جنوب حاره طی سالهای ۱۹۹۹ و ۲۰۱۶ که تا عرض جغرافیایی ۳۵° درجه گسترش داشته است. این گزارش با تحقیقات آرچر و همکاران (Archer et al, ۲۰۰۸) و زولوتوف و همکاران (Zolotov, ۲۰۱۸؛ ۸) همخوانی دارد که تغییرات روند رودبادهای جنوب حاره ای را از سال ۱۹۷۹ تا ۲۰۰۱ برای سطح ۱۰۰-۴۰۰ هکتوپاسکال مورد مطالعه قرار دادند و این افزایش در طول گرم شدن دمای سطح جهانی همراه است. نتایج پژوهش آنها نشان داد که رودباد از لحاظ موقعیت ارتفاعی به سطوح بالاتر انتقال یافته و به سمت قطب جابه‌جا شده است. و با تحقیقات فو و همکاران (Fu et al, ۲۰۰۶)

که تغییرات روند دمای وردسپهر و پوشن سپهر را برای دوره مطالعاتی ۱۹۷۹ تا ۲۰۰۵ مورد مطالعه قرار داده و به این نتیجه رسیدند که رودباد جنوب حاره‌ای برای نیمکره شمالی و با توجه به فصول تابستان و زمستان، تقریباً به اندازه ۱ تا ۲ درجه به سمت قطب جایه‌جا شده است. و همچنین با تحقیقات هودسن (Hudson, ۲۰۱۲) که با گسترش سلول هدلی به عرض‌های بالاتر روبروی جنوب حاره‌ای هم جایه‌جا شده است.



شکل ۸: سری زمانی تغییرات سالانه عرض جغرافیایی جنوب حاره در نیمکره شمالی

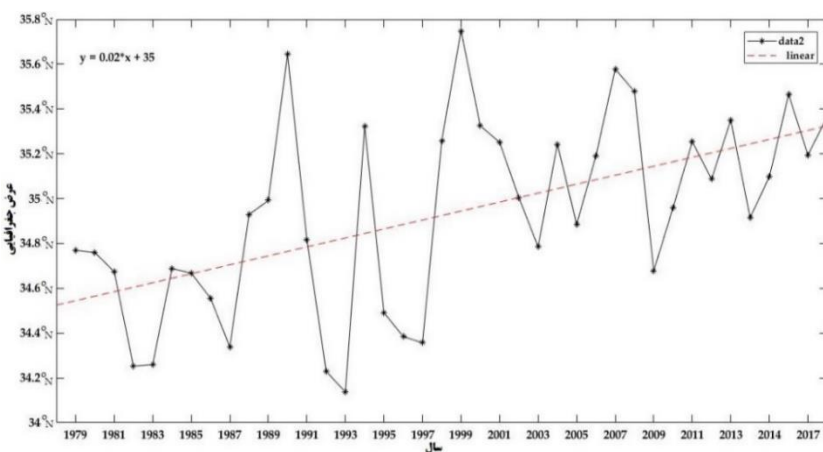
پیچانه افزایش توربولانس شار تکانه جت‌های عرض میانه باعث گسترش کمربند گرم‌سیری می‌شود (Schneider, ۲۰۰۶). با توجه به نمودار شماره ۹، میانگین افزایش سالانه کمربند گرم‌سیری را با پیچانه سرعت جت در سطح هکتوپاسکال را طی بازه زمانی ۳۹ ساله (۱۹۷۹-۲۰۱۸) نشان می‌دهد. معادله خط رگرسیون برآش داده شده پیچانه سرعت جت با افزایش هر سال، عرض جغرافیایی پیچانه سرعت به طور متوسط به اندازه ۰/۰۲۳ درجه جغرافیایی افزایش می‌یابد. به طور کلی، این مطالعه نشان می‌دهد پیچانه سرعت جت از سال ۱۹۷۹، ۱۹۸۲، ۱۹۸۹، ۱۹۹۰ و ۲۰۱۵ تا عرض جغرافیایی ۴۹°-۴۷° درجه گسترش داشته است. و کمترین شدت عرض جغرافیایی چرخش پیچانه سرعت طی سالهای ۱۹۸۱، ۱۹۹۶-۱۹۹۵ و ۲۰۱۰ تا عرض جغرافیایی ۴۱° درجه می‌باشد.



شکل ۹: سری زمانی تغییرات سالانه عرض جغرافیایی پیچانه سرعت جت تراز ۸۵۰ هکتوپاسکال در نیمکره شمالی

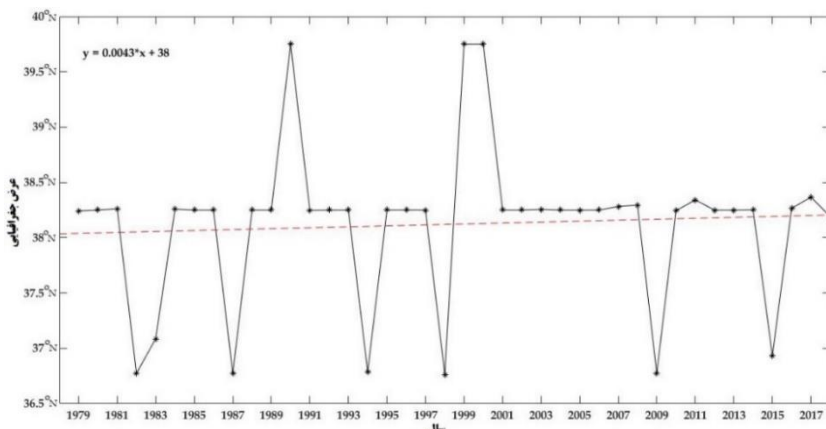
یکی دیگر از روش‌های تشخیص کمربند گرم‌سیری با استفاده از داده‌های تابش موج بلند خروجی است است. تابش موج بلند خروجی زمین (OLR)، یک شاخص حیاتی سینوپتیکی دگرگونی و مخاطرات آب و هوایی است که برای

شناسایی کمربند خشک گرمسیری، گردش سلول هدلی، نوسانات اقیانوسی-جو، ابرهای ضخیم و همرفتی، پیش‌بینی زلزله و گردوغبار در نظر گرفته می‌شود؛ و همچنین از پارامترهای شناختی مهم مورد استفاده در تحقیقات مرتبط با آب و هوا می‌باشد (Taylor, ۲۰۱۲). توزیع بازتابش زمینی ارتباط نزدیکی با دماهای سطحی دارد و حداکثر میانگین سالانه آن در نواحی گرمسیری است (Qian, ۲۰۱۶: ۵۳۱). بر اساس تحقیقات جانسون و همکاران (۲۰۰۹)، دیویز (۲۰۱۷)، دیویز (۲۰۰۹) و همکاران (۲۰۱۳) مشخص شدن عرض جغرافیایی کمربند گرمسیری را با فاصله بین عرض جغرافیایی که OLR ارزش خطوط کنتوری آن را با  $250 \text{ Wm}^{-3}$  است، مشخص نموده اند (Hu & Fu, ۲۰۰۷; Johanson, ۲۰۰۹). بیشترین مقادیر ارزشی تابش موج بلند خروجی زمین در مناطق گرمسیری به دلیل عدم وجود ابرهای زیاد و خشکی هوای پوشن سپهر در این مناطق یافت می‌شود. کاهش سریع تابش موج بلند خروجی زمین از مناطق گرمسیری به منطقه انتقال عرض‌های میانه با مقادیر معمولی نزدیک به  $250 \text{ Wm}^{-3}$  است (Hu & Fu, ۲۰۰۷). بشینه تابش موج بلند خروجی زمین در نیمکره شمالی بین عرض جغرافیایی ۱۲ تا ۳۲ درجه جغرافیایی که بین ۲۶۰ تا ۲۶۷ وات بر ساعت است، که حداکثر بشینه آن در عرض ۲۰ درجه جغرافیایی با ۲۶۴ وات بر ساعت مشاهده است که لبه عرض جغرافیایی کمربند گرمسیری با ارزش خطوط کنتوری  $250 \text{ Wm}^{-3}$  در نیمکره شمالی در عرض ۳۰ درجه جغرافیایی قابل مشاهده است (حسینی صدیق، ۱۳۹۹). هاتزیدیمیتروس و همکاران (Hatzidimitriou & et al, ۲۰۰۴) در تحقیقی به عنوان افزایش امواج بلند خروجی زمین در منطقه گرمسیری در دهه‌های اخیر دریافتند که تغییرات فصلی و بین سالیانه تابش موج بلند خروجی زمین، نشان دهنده افزایشی برابر با  $1/9 \text{ Wm}^{+0/2}$  است، تجزیه و تحلیل تغییرات بین سالیانه و بلند مدت تابش بلند خروجی زمین نشان داد که مهم ترین سهم در روند افزایشی مشاهده شده، کاهش سطح پوشش ابر در طول دوره ۱۹۸۴-۲۰۰۰، و پس از آن خشک شدن ظاهری وردسپهر فوقانی و کاهش میزان خفیف ابر در سطح پایین است. با توجه به نمودار شماره ۱۰ میانگین گسترش پهنه‌ای کمربند گرمسیری را با تابش موج بلند خروجی زمین را طی بازه زمانی ۳۹ ساله (۱۹۷۹-۲۰۱۸) نشان می‌دهد. معادله خط رگرسیون برآش داده شده تابش موج بلند خروجی زمین به صورت  $y = 0.2 + 35x^{0.02}$  به دست آمد، به عبارت دیگر مقدار  $b$  و  $a$  در معادله به ترتیب برابر  $32$  و  $0.02$  حاصل شد. با افزایش هر سال، عرض جغرافیایی کمربند گرمسیری به طور متوسط به اندازه  $20^{\circ}$  درجه جغرافیایی افزایش می‌یابد. به طور کلی، این مطالعه نشان می‌دهد کمربند گرمسیری از سال ۱۹۷۹، ۱ تا ۲ درجه عرض جغرافیایی افزایش یافته است؛ که بیشترین افزایش شدت عرض جغرافیایی کمربند گرمسیری طی سالهای ۱۹۹۰ و ۱۹۹۹ تا عرض جغرافیایی  $35/8^{\circ}$  درجه گسترش داشته است. در دهه‌های اخیر، مطالعات بسیاری تعیین کرده‌اند که تغییرات آب و هوایی، از قبیل گرمایش وردسپهر عرض‌های میانه و تغییرات قطب ناحیه خشک نیمه گرمسیری، همراه با روند تقویت و گسترش کمربند گرمسیری بر اثر تابش موج بلند خروجی زمین مرتبط هستند (Chen et al, ۲۰۰۲; Mitas & Clement, ۲۰۰۵; Fu et al, ۲۰۰۶; Hu & Fu, ۲۰۰۷; Song & Zhang, ۲۰۰۷; Stachnik & Schumacher, ۲۰۱۱; Liu et al, ۲۰۱۲; Su et al, ۲۰۱۴).



شکل ۱۰: سری زمانی تغییرات سالانه عرض جغرافیایی تابش موج بلند سطح زمین در نیمکره شمالی

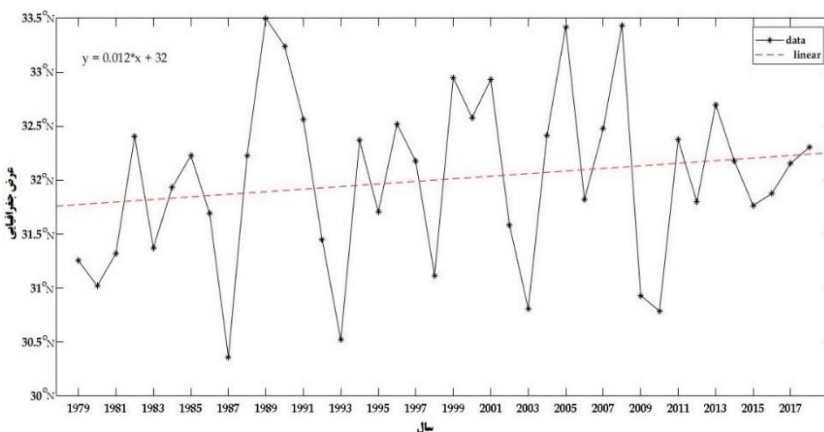
وردایست به مرز بین وردسپهر و پوشن سپهر اطلاق می‌شود، تعریف مناسب‌تر در مناطق استوایی استفاده از یک آستانه  $0\text{ K/km}$  است (WMO, ۱۹۵۷). وردایست منطقه‌ای است که در آنجا کاهش دما با افزایش ارتفاع متوقف می‌شود و جو در آنجا به طور کامل خشک است. این لایه پایین‌ترین سطح از جو تعریف می‌شود که در آن دما تا ۲ درجه سانتی‌گراد در هر کیلومتر در سطح عمود کاهش می‌یابد؛ و همچنین در پوشن سپهر، میزان کاهش دما منفی است از میزان کاهش دما کاسته می‌شود. در حقیقت، مناطق گرم‌سیری در وردایست منطقه‌ای است که این میزان کاهش دما از مثبت به منطقه نیمه گرم‌سیری منفی تغییر می‌کند. جایی که در آن معمولاً تغییر ناگهانی در میزان کاهش دما اتفاق می‌افتد و همچنین نزدیکی جت نیمه گرم‌سیری است (Davis, ۲۰۱۳: ۲۵). مناطق گرم‌سیری در وردایست نقاط سردتری را شامل است تا نسبت به منطقه نیمه گرم‌سیری و به عنوان سطح حداکثر انحنای دمای هوا محاسبه می‌شود. در نهایت، در این پژوهش، یک موضوع جدید از وردایست معرفی می‌گردد که مبتنی بر هدف تشخیصی برای عرض‌های جغرافیایی لبه‌های کمربند گرم‌سیری که اندازه حداکثر پایداری ایستاتیک هوای خشک گرم‌سیری است. دمای سطح وردایست عرض جغرافیایی که اختلاف دمای بالقوه وردایست و سطح زیاد است (Davis and Birner, ۲۰۱۷: ۲۰۱۷). در واقع، این مطالعه بر اساس شکل ۱۱ نشان می‌دهد عرض جغرافیایی دمای سطح وردایست ۱ تا ۳ درجه عرض جغرافیایی افزایش داشته است و با افزایش هر سال، عرض جغرافیایی دمای سطح وردایست به طور متوسط به اندازه  $0.0043^{\circ}\text{C}/\text{year}$  درجه جغرافیایی افزایش می‌یابد. بیشترین افزایش شدت عرض جغرافیایی دمای سطح وردایست طی سالهای ۱۹۹۰، ۱۹۹۹ و ۲۰۰۰ که تا عرض جغرافیایی  $39.8^{\circ}$  درجه گسترش داشته است.



شکل ۱۱: سری زمانی تغییرات سالانه عرض جغرافیایی شکاف تروپوپاوز در نیمکره شمالی

برای تعیین پهنه‌ای کمربند گرمسیری، با استفاده از میانگین ناحیه تابع جریان نصف‌النهاری ( $\Psi$ )، شناسایی می‌شود که خطوط انتقال جرم در مختصات فشار از ( $\Psi$ ) نشان داده می‌شود. تعیین عرض جغرافیایی تابع جرم نصف‌النهاری در وردسپهر صفر است که نشان دهنده میانگین عرض جغرافیایی کمربند گرمسیری است؛ و تبدیل به ماکزیمای صفر، منطقه نیمه‌گرمسیری را مشخص می‌نماید. از آنجا که پوشن سپهر تقریباً ۱۰٪ از جرم جو گرمسیری را نشان می‌دهد و مقادیر عملکرد جریان در پوشن سپهر مرتبه‌هایی با بزرگی-کوچکتر از آنهایی که در وردسپهر هستند، سهم گردش سلول هدلی در پوشن سپهر بسیار ناچیز است. میزان تابع جرم نصف‌النهاری در ۵۰۰ هکتوپاسکال تعریف شده است (Amaya et al., ۲۰۱۷; Feng & et al., ۲۰۱۶; Johanson, ۲۰۰۹; Lou & et al., ۲۰۰۷; Hu & Fu, ۲۰۰۷; Nguyen & et al., ۲۰۱۷).

نمودار شماره ۱۲ میانگین افزایش سالانه کمربند گرمسیری را با تابع جریان جریان نصف‌النهاری در سطح ۵۰۰ هکتوپاسکال را طی بازه زمانی ۳۹ ساله (۱۹۷۹-۲۰۱۸) نشان می‌دهد. معادله خط رگرسیون برآش داده شده تابع جریان نصف‌النهاری به صورت  $y = 0.0012x + 32$  به دست آمد، به عبارت دیگر مقدار  $b$  و  $a$  در معادله به ترتیب برابر ۳۲ و ۰/۰۱۲ حاصل شد. با افزایش هر سال، عرض جغرافیایی کمربند گرمسیری به طور متوسط به اندازه ۰/۰۱۲ درجه جغرافیایی افزایش می‌یابد (افزایش به دلیل علامت مثبت  $b$ ). به طور کلی، این مطالعه نشان می‌دهد تابع جریان نصف‌النهاری طی بازه ۳۹ ساله، ۱ تا ۳/۵ درجه عرض جغرافیایی افزایش یافته است؛ که بیشترین افزایش شدت عرض جغرافیایی کمربند گرمسیری طی سالهای ۱۹۸۹، ۲۰۰۵ و ۲۰۰۸ که تا عرض جغرافیایی  $33/5^{\circ}$  درجه گسترش داشته است. و همچنین کمترین شدت عرض جغرافیایی کمربند گرمسیری طی سالهای ۱۹۸۷، ۱۹۹۳، ۲۰۰۳ و ۲۰۱۰ که تا عرض جغرافیایی  $30/5^{\circ}$  درجه گسترش داشته است. تابع جریان نصف‌النهاری برای سیستم آب و هوایی از اهمیت اساسی برخوردار است و تغییرات آن تأثیرات مهمی بر آب و هوای کمربند گرمسیری و نیمه‌گرمسیری دارد. مطالعات مشاهده‌ای نشان می‌دهد که کمربند گرمسیری زمین در طول قرن ۲۱ گسترش می‌یابد و باعث افزایش خشکی و گرمايش جهانی را در پیش رو خود دارد.



شکل ۱۲: سری زمانی تغییرات سالانه عرض جغرافیایی تابع جریان نصف النهاری در نیمکره شمالی

### نتیجه گیری

گسترش کمربند گرم‌سیری و متعاقب آن خشک شدن عرض‌های میانه رو به افزایش است، و انتظار می‌رود که در طول قرن بیست و یکم با افزایش گازهای گلخانه‌ای و تغییر کاربری اراضی زمین ادامه یابد. این گسترش می‌تواند اثرات نامطلوب اجتماعی، اقتصادی و سیاسی ناشی از تغییرات بارندگی و خشکسالی‌ها را پی‌داشته باشد و در نهایت، این ممکن است باعث شود که بیابان‌زایی بیشتر از مرزهای موجود ایجاد شود. در این پژوهش از داده‌های باز‌تحلیل پیش‌بینی میان مدت هواسپهر اروپایی (ECMWF) نسخه ERA<sup>۵</sup> با تفکیک مکانی ۰/۲۵\*۰/۲۵ و بازه زمانی ۴۰ سال (۱۹۷۹-۲۰۱۸) از شاخص‌های تابش موج بلند خروجی زمین، فشار سطح دریا، کسر بارش از تبخیر، باد مداری سطح صفر، جت جنب حاره، پیچانه سرعت جت، دمای سطح وردایست و تابع جریان نصف‌النهاری با استفاده از نرم افزار متلب به بررسی تغییرپذیری پهنه‌ای کمربند گرم‌سیری نیمکره شمالی در عرض‌های میانه پرداخته شده است. این پژوهش نشان داد که همه شاخص‌های کمربند گرم‌سیری به غیر از فشار سطح زمین در فصل تابستان و بهار که روند کاهشی را داشته است، اکثر شاخص‌های کمربند گرم‌سیری از سال ۱۹۷۹ روند افزایشی اتفاق افتاده است. عرض جغرافیایی کمربند گرم‌سیری با معیار فشار سطح دریا در فصلهای زمستان و پاییز، ۳ تا ۵ درجه عرض جغرافیایی، کسر بارش از تبخیر ۱ تا ۳ درجه عرض جغرافیایی مشاهده شده است که با گسترش تابع جریان نصف‌النهاری به سمت عرض‌های جغرافیایی بالاتر با ۱ تا ۳ درجه عرض جغرافیایی شرایط فرونشینی گردش هدلی افزایش دامنه تبخیر از بارش بیشتر نشان داده است و همچنین افزایش دما و باد شدید می‌تواند تبخیر را افزایش داده و در نتیجه منابع آب را کاهش دهد. جت جنب حاره در حرکت شاخه‌های فوقانی وردسپهر از گردش هدلی در هر نیمکره تشکیل شده است و این امر باعث حرکت از عرض جت جنب حاره به عنوان گسترش عرض کمربند گرم‌سیری با ۲ تا ۴ درجه عرض جغرافیایی افزایش داشته است که می‌تواند بر سامانه‌های رطوبت زای گذری و همچنین بر میزان بارشها اثر منفی داشته باشد. گسترش قطب سوی کمربند گرم‌سیری که پیامدی از دگرگونی و مخاطرات آب و هوایی به شمار می‌رود، جا به جایی مکانی قطب سوی رودباد جنب حاره‌ای را در پی خواهد داشت و در نتیجه کمربندهای خشک جنب حاره‌ای به سمت قطب را ارائه می‌کنند. تابش موج بلند خروجی زمین ۱ تا ۲ درجه عرض جغرافیایی افزایش یافته و دلیلی بر افزایش گرما در وردسپهر فوقانی گردیده است و این باعث افزایش خشکی و کاهش خفیف ابر در وردسپهر فوقانی شده است و همچنین باعث گسترش کمربند گرم‌سیری به سمت عرض‌های جغرافیایی بالاتر شده است. شاخص‌های دیگر کمربند گرم‌سیری همچون، باد مداری سطح صفر ۱

تا ۲ درجه عرض جغرافیایی، پیچانه سرعت جت ۱ تا ۳ درجه عرض جغرافیایی، دمای سطح وردایست ۱ تا ۳ درجه عرض جغرافیایی و همچنین با تابع جریان نصف‌النهاری با افزایش هر سال به طور متوسط به اندازه ۰/۱۲ درجه جغرافیایی افزایش داشته است. به طور کلی، این مطالعه نشان می‌دهد کمربند گرم‌سیری با تابع جریان نصف‌النهاری، ۱ تا ۳/۵ درجه عرض جغرافیایی افزایش یافته است و بیشترین افزایش شدت عرض جغرافیایی کمربند گرم‌سیری طی سالهای ۱۹۸۹، ۲۰۰۵ و ۲۰۰۸ تا عرض جغرافیایی ۳۳/۵ درجه گسترش داشته است و شواهدی از گسترش کمربند گرم‌سیری را به سمت قطب را نشان می‌دهد و افزایش پهنه‌ای کمربند گرم‌سیری در نیمکره شمالی به معنای افزایش شرایط خشکی و خشکسالی و به عبارتی تغییرات آب و هوایی و ایجاد مخاطرات محیطی است. این مطالعه با نتایج تحقیقات (Adam et al., ۲۰۱۶; Davis, ۲۰۱۹; Paul et al., ۲۰۱۸; Solomon et al., ۲۰۲۰) مطابقت دارد که نشان داده اند کمربند گرم‌سیری به سمت عرض‌های جغرافیایی بالاتر گسترش داشته است و همچنین با تحقیقات آلن و همکاران (Allen et al., ۲۰۱۷)، پولوانی و همکاران (Polvani, ۲۰۱۱) و استاتن (Staten, ۲۰۱۲) همخوانی دارد که گزارش نمودند، کمربند گرم‌سیری نیمکره شمالی با مولفه تابع جریان نصف‌النهاری به سمت عرض جغرافیایی بالاتر گسترش داشته است. مطالعه و شناسایی تغییرات کمربند گرم‌سیری در آگاهی بخشی، آمادگی قبل از وقوع بعضی از مخاطرات آب و هوایی منتج از این تغییرات اهمیت زیادی دارد. در حال حاضر شناسایی تغییرات کمربند گرم‌سیری در ایجاد مخاطرات آب و هوایی در برخی از کشورها اهمیت زیادی دارد و پیشنهاد می‌شود در این زمینه برنامه‌ریزیهای لازم را اتخاذ کنند و با پیش‌بینی و بهینه‌سازی فعالیت‌های خود خسارات ناشی از این مخاطرات آب و هوایی را بکاهند.

## منابع

- حسینی صدیق، سید محمود و مسعود جلالی. ۱۴۰۰. بررسی ساختار دینامیکی گردش نصف‌النهاری سلول‌های در کمربند حاره. نشریه نیوار، ۴۵(۱۱۲و۱۱۳): ۱-۱۵.
- حسینی صدیق، سید محمود؛ جلالی، مسعود؛ جعفری، تیمور. ۱۳۹۹. تغییرات و ساختار فضایی تابش موج بلند خروجی زمین، نشریه تحلیل فضایی مخاطرات محیطی، ۸: ۱۴۸-۱۲۹.
- فلاح قاله‌ی، غلامعباس. ۱۳۹۳. اصول و مبانی هواشناسی، انتشارات دانشگاه حکیم سبزواری، سبزوار.
- لشکری، حسن. ۱۳۹۳. آب و هواشناسی دینامیک، انتشارات دانشگاه شهید بهشتی، تهران.
- Adam, O., Grise, K. M., Staten, P., Simpson, I. R., Davis, S. M., Davis, N. A., et al. ۲۰۱۹. The TropD software package (v1): Standardized methods for calculating tropical-width diagnostics. Geoscientific Model Development, 11(10). [https://doi.org/10.5194/gmd-11-230\\_2018](https://doi.org/10.5194/gmd-11-230_2018).
- Allen, R. J., and M. Kovilakam. ۲۰۱۷. The role of natural climate variability in recent tropical expansion. *J. Climate*, ۳۰: ۶۳۲۹–۶۳۵۰, <https://doi.org/10.1175/JCLI-D-16-0730.1>.
- Allen, R. J., S. C. Sherwood, J. R. Norris, and C. S. Zender. ۲۰۱۲. Recent Northern Hemisphere tropical expansion primarily driven by black carbon and tropospheric ozone. *Nature*, 480: 350–354, doi: 10.1038/nature11097.
- Birner, T., Davis, S. M. & Seidel, D. J. ۲۰۱۴. The changing width of Earth's tropical belt. *Phys. Today* 67: 38–44.
- Bronnimann, S. et al. ۲۰۱۰. Southward shift of the northern tropical belt from ۱۹۴۵ to ۱۹۸۰. *Nat. Geosci.* 8, 969–974.
- Chen JY, Carlson BE, Del Genio AD. ۲۰۰۲. Evidence for strengthening of the tropical general circulation in the ۱۹۹۰s. *Science* 295:838–841. doi:10.1126/science.1060835.

- Choi, J., S.-W. Son, J. Lu, and S.-K. Min. ۲۰۱۴. Further observational evidence of Hadley cell widening in the Southern Hemisphere. *Geophys. Res. Lett.*, ۴۱: ۲۵۹۰–۲۵۹۷, <https://doi.org/10.1002/2014GL059426>.
- Choi, J., Son, S.-W., Lu, J. & Min, S.-K. ۲۰۱۴. Further observational evidence of Hadley cell widening in the Southern Hemisphere. *Geophys. Res. Lett.* 41: 2590–2597.
- Cook, K.H. ۲۰۰۴. Hadley Circulation Dynamics: Seasonality and the Role of Continents. In “The Hadley Circulation: Past, Present, and Future”. Series: Advances in Global Change Research, ۲۱: Diaz, Henry F.; Bradley, Raymond S. (Eds.), ۵۱۱ p., **SBN**: ۱-۴۰۲-۲۹۴۲-۸.
- CSIRO (Commonwealth Scientific and Industrial Research Organization). ۲۰۱۲. Climate and water availability in South-Eastern Australia: a synthesis of findings from phase ۲ of the South Eastern Australian climate initiative (SEACI). ۴۱.
- Davis, N. A. ۲۰۱۷. the Dynamics of Hadley Circulation Variability and Change, Colorado State University, Libraries.
- Davis, N. A., Davis, S. M. & Waugh, D. W. ۲۰۱۸. New insights into tropical belt metrics. *Variations* ۱۶: ۱–۵.
- Davis, S. M., and K. H. Rosenlof .۲۰۱۲. A multidiagnostic intercomparison of tropical-width time series using reanalysis and satellite observations, *J. Clim.*, ۲۵: ۱۰۶۱–۱۰۷۸, [doi:10.1175/JCLI-D-11-00127.1](https://doi.org/10.1175/JCLI-D-11-00127.1).
- Davis, S. M., Hassler, B., & Rosenlof, K. H. ۲۰۱۸. Revisiting ozone measurements as an indicator of tropical width. *Progress in Earth and Planetary Science*.
- Feng, S. & Fu, Q. ۲۰۱۳. Expansion of global drylands under a warming climate. *Atmos. Chem. Phys.* ۱۳, ۱۰۰۸۱–۱۰۰۹۴.
- Feng, S., and Q. Fu. ۲۰۱۳. Expansion of global drylands under a warmer climate. *Atmos. Chem. Phys.*, ۱۳: ۱۰۰۸۱–۱۰۰۹۴, [doi:10.5194/acp-13-10081-2013](https://doi.org/10.5194/acp-13-10081-2013).
- Frierson, D. M. W., J. Lu, and G. Chen. ۲۰۰۷. Width of the Hadley cell in simple and comprehensive general circulation models. *Geophys. Res. Lett.*, ۳۴: L1884, [doi:10.1029/2007GL031110](https://doi.org/10.1029/2007GL031110).
- Fu, Q., and P. Lin. ۲۰۱۱. Poleward Shift of Subtropical Jets Inferred from Satellite-Observed Lower Stratospheric Temperatures. *J. Climate*, ۲۴: ۵۰۹۷–۵۱۰۳, [doi:10.1175/JCLI-D-11-0027.1](https://doi.org/10.1175/JCLI-D-11-0027.1).
- Fu, Q., C. M. Johanson, J. M. Wallace, and T. Reichler. ۲۰۰۶. Enhanced mid-latitude tropospheric warming in satellite measurements, *Science*, ۳۱۲, ۱۱۷۹.
- Gillet, N. P., Zwiers, F. W., Weaver, A. J. And Stott, P.A. ۲۰۰۳. Detection of Human Influence on Sea-Level Pressure, *Nature*, 40: 422, PP. 292–294.
- Grise, K.M., Davis, S.M. ۲۰۱۹. Hadley cell expansion in CMIP<sup>۶</sup> models. *Atmospheric Chemistry and Physics*. <https://doi.org/10.5194>.
- Held, I. M., and B. J. Soden. ۲۰۰۷. Robust Responses of the Hydrological Cycle to Global Warming. *J. Climate*, 19: 5680–5699, [doi:10.1175/JCLI3990.1](https://doi.org/10.1175/JCLI3990.1)
- Hu, Y., L. Tao, and J. Liu. ۲۰۱۳. Poleward expansion of the Hadley circulation in CMIP<sup>۵</sup> simulations, *Adv. Atmos. Sci.*, 30: 790–795.
- Hu, Y., and Q. Fu. ۲۰۰۷. Observed poleward expansion of the Hadley circulation since ۱۹۷۹, *Atmos. Chem. Phys.*, 7: 5229–5236.
- Hudson, R. D., Andrade, M. F., Follette, M. B. & Frolov, A. D. ۲۰۰۷. The total ozone field separated into meteorological regimes – Part II: Northern Hemisphere mid-latitude total ozone trends. *Atmos. Chem. Phys.* 7: 5183–5191.
- IOCI. ۲۰۱۲. Western Australia’s weather and climate: A synthesis of Indian Ocean Climate Initiative (IOCI) stage ۳ research. CSIRO and BoM, ۱۱۹ pp.
- IPCC. ۱۹۹۰. Climate Change ۱۹۹۰: The Science of Climate Change. J.T. Houghton et al. (eds.), Cambridge University Press, ۵۷۲ pp.
- IPCC. ۲۰۰۱. Climate Change ۲۰۰۱. The Science Basis. J.T. Houghton et al. (eds.), Cambridge University Press, ۸۸۱ pp.
- Johanson, C. M., and Q. Fu. ۲۰۰۹. Hadley cell widening: Model simulations versus observations. *J. Climate*, 22: 2713–2720, [doi:10.1175/2008JCLI2620.1](https://doi.org/10.1175/2008JCLI2620.1).

- Johanson, C. M., and Q. Fu., ۲۰۰۹. Hadley cell widening: Model simulations versus observations. *J. Climate*, ۲۲: ۲۷۱۳–۲۷۲۰, doi: ۱۰.۱۱۷۵/۲۰۰۸JCLI۲۶۲۰, ۱.
- Liu J, Song M, Hu Y, Ren X. ۲۰۱۲. Changes in the strength and width of the Hadley Circulation since ۱۸۷۱. *Clim Past*, ۸: ۱۱۶۹–۱۱۷۰, doi: ۱۰.۵۱۹۴/cp-۸-۱۱۶۹-۲۰۱۲.
- Lu, J., G. A. Vecchi, and T. Reichler. ۲۰۰۷. Expansion of the Hadley cell under global warming, *Geophys. Res. Lett.*, ۳۴: L۰۶۸۰۵, doi: ۱۰.۱۰۲۹/۲۰۰۶GL0۲۸۴۴۳.
- Lu, C. Deser, and T. Reichler. ۲۰۰۹. Cause of the widening of the tropical belt since ۱۹۵۸. *Geophys. Res. Lett.*, ۳۶: L۰۳۸۰۳, <https://doi.org/10.1029/2008GL036076>.
- Lucas, C., H. Nguyen, and B. Timbal. ۲۰۱۲. An observational analysis of Southern Hemisphere tropical expansion. *J. Geophys. Res.*, ۱۱۷, D۱۷۱۱۲, doi: ۱۰.۱۰۲۹/۲۰۱۱JD0۱۷۰۳۳.
- Mitas CM, Clement A. ۲۰۰۰. has the Hadley cell been strengthening in recent decades? *Geophys Res Lett* ۲۲(۲):L۰۳۸۰۹. doi: ۱۰.۱۰۲۹/۲۰۰۴GL0۲۱۷۶۵.
- Moore, J. K. et al. ۲۰۱۸. Sustained climate warming drives declining marine biological productivity. *Science* ۳۵۹: ۱۱۳۹–۱۱۴۳.
- Morales MS, Christie DA, Villalba R et al. ۲۰۱۲. Precipitation changes in the South American Altiplano since ۱۳۰۰ AD reconstructed by tree-rings. *Clim Past*, ۸: ۶۵۳–۶۶۶. doi: ۱۰.۵۱۹۴/ cp-۸-۶۵۳-۲۰۱۲.
- New, M., M. Todd, M. Hulme, and P. Jones. ۲۰۰۱. Precipitation measurements and trends in the twentieth century. *Int. J. Climatol.*, ۲۱: ۱۸۹۹–۱۹۲۲, doi: ۱۰.1002/joc.۷۸۰.
- Nguyen, H., C. Lucas, A. Evans, B. Timbal, and L. Hanson. ۲۰۱۷. Expansion of the Southern Hemisphere Hadley Cell in Response to Greenhouse Gas Forcing. *J. Climate*, ۲۸: ۸۰۷۸–۸۰۷۸, doi: ۱۰.۱۱۷۵/JCLI-D-۱۰-۱۳۹, ۱.
- Polovina, J. J., Howell, E. A. & Abecassis, M. ۲۰۰۸. Ocean's least productive waters are expanding. *Geophys. Res. Lett.* ۳۵, L۰۳۶۱۸.
- Polvani LM, Waugh DW, Correa GJP, et al. ۲۰۱۱. Stratospheric ozone depletion: The main driver of twentieth-century atmospheric circulation changes in the Southern Hemisphere. *J. Clim.*; ۲۴: ۷۹۰–۸۱۲.
- Post, D. A. et al. ۲۰۱۴. Decrease in southeastern Australian water availability linked to ongoing Hadley cell expansion. *Earth's Future* ۲, ۲۳۱–۲۳۸.
- Schmidt, D. F. & Grise, K. M. ۲۰۱۷. The response of local precipitation and sea level pressure to Hadley cell expansion. *Geophys. Res. Lett.* ۴۴: ۱۰,۵۱۰–۵۷۳, ۰۸۲.
- Schneider, E. K. & Lindzen, R. S. ۱۹۷۷. Axially symmetric steady-state models of the basic state for instability and climate studies. Part I. Linearized calculations. *J. Atmos. Sci.* ۳۴: ۲۶۳–۲۷۹.
- Seidel, D. J., Q. Fu, W. J. Randel, and T. J. Reichler. ۲۰۰۸. Widening of the tropical belt in a changing climate. *Nat. Geoscience*, ۱: ۲۱–۲۴, doi: ۱۰.۱۰۳۸/ngeo.۲۰۰۷, ۳۸.
- Si, D., Ding, Y. & Liu, Y. ۲۰۰۹. Decadal northward shift of the Meiyu belt and the possible cause. *Chinese Sci. Bull.* ۵۴, ۴۷۴۲–۴۷۴۸.
- Solomon, A., Polvani, L. M., Waugh, D. W., and Davis, S. M. ۲۰۱۶. Contrasting upper and lower atmospheric metrics of tropical expansion in the Southern Hemisphere, *Geophys. Res. Lett.*, ۴۳, ۱۰۴۹۶–۱۰۵۰۳.
- Song H, Zhang M. ۲۰۰۷. Changes of the boreal winter Hadley circulation in the NCEP-NCAR and ECMWF reanalyses: A comparative study, *J Climate* ۲۰: ۰۱۹۱–۰۲۰۰.
- Staten, P. W., J. J. Rutz, T. Reichler, and J. Lu. ۲۰۱۲. Breaking down the tropospheric circulation response by forcing. *Climate Dyn.*, ۳۹: ۲۳۶۱–۲۳۷۰, doi: ۱۰.۱۰۰۷/s۰۰۳۸۲-۰۱۱-۱۲۶۷-y.
- Su H, Jiang JH, Zhai C, Shen TJ, Neelin JD, Stephens GL, Yung YL. ۲۰۱۴. Weakening and strengthening structures in the Hadley circulation change under global warming and implications for cloud response and climate sensitivity. *J Geophys Res* ۱۱۹(1۰): ۵۷۸۷–۵۸۰۰.

- Taylor, Patrik C. ۲۰۱۲. Tropical Outgoing Longwave Radiation and Longwave Cloud Forcing Diurnal Cycles from Ceres. *Journal of The Atmospheric Science*. ۶۹: ۳۶۵۲-۳۶۶۹.
- Wang C, Lee SK, Enfield DB. ۲۰۰۸. Atlantic warm pool acting as a link between Atlantic multidecadal oscillation and Atlantic tropical cyclone activity. *Geochem. Geophys. Geosyst.* ۹: Q۰۵V۰۳
- Waugh, D. W., Coauthors. ۲۰۱۸. Revisiting the relationship among metrics of tropical expansion. *J. Climate*, <https://doi.org/10.1175/JCLI-D-18-0108>, in press.
- WMO (World Meteorological Organization). ۱۹۵۷. Meteorology— a three-dimensional science. Second session of the Commission for Aerology. WMO Bulletin IV, no ۴. WMO, Geneva, pp ۱۳۴–۱۳۸.
- Zhang, X., F. W. Zwiers, G. C. Hegerl, F. H. Lambert, N. P. Gillett, S. Solomon, P. A. Stott, and T. Nozawa. ۲۰۰۷. Detection of human influence on twentieth-century precipitation trends. *Nature*, ۴۴۸: ۴۶۱–۴۶۵, doi: 10.1038/nature.2007.8025.

